

Investigation of the behavior of recycled concrete and self-compacting concrete in road pavement construction using ultrasonic test and compare it with other methods

M. Golshani¹, K. Takin^{2*}, S. Sabouri²

¹ Department of Civil Engineering, Pooyesh Institute of Higher Education, Qom, Iran

² Department of Civil Engineering, Safadasht Branch, Islamic Azad University, Tehran, Iran

ABSTRACT: Nowadays, recycled concrete is used for the construction of many construction projects due to its low cost and environmental protection. In addition, self-compacting concrete is very important and useful due to the lack of vibration and the least possibility of creating large holes and voids. In this article, by combining these two types of concrete, its properties have been investigated. To obtain the compressive strength of concrete, non-destructive methods can be used, which can be much simpler, faster, and without damage; however, there must be agreement between the destructive and non-destructive test results to be acceptable. In this article, the behavior of recycled and self-compacting concrete used in road concrete pavements has been investigated. For this purpose, the method of grinding and ultrasonic testing has been used and a comparison has been made between the results. The average compressive strength of 7 days in cement grade of 250 kg/m³ is equal to 20.1 MPa and in cement grade of 400 kg/m³ is equal to 30.8 MPa, which has a growth of 52%. Also, in all the tests, the compressive strength obtained in the core sampling test was higher than the other results. On average, the value of compressive strength obtained in the core sampling method is 8% and 14% higher than the in-situ test method and ultrasonic test, respectively. The average compressive strength of 28 days in cement grade of 250 kg/m³ is equal to 25.2 MPa and in cement grade of 400 kg/m³ it is equal to 38.9 MPa, which has increased by 54%. Finally, it has been concluded that the results of sanding and ultrasonic testing in determining the compressive strength of concrete can have a difference between 7 and 17%, and usually the results of ultrasonic testing show lower values.

Review History:

Received: May, 01, 2022

Revised: Dec. 04, 2022

Accepted: Jan. 01, 2023

Available Online: Sep. 17, 2023

Keywords:

Concrete

compressive strength

in situ test

ultrasonic test

corrugation test

1- Introduction

Today, the consumption of concrete is increasing day by day in various construction works, and the need to know more about the materials that make up concrete along with construction technology has been accepted in all engineering societies. Concrete consists of three phases: cement paste as a matrix, transition zone, and aggregate. The results obtained in many researches show that the size of aggregates has a great effect on the strength of concrete[1]. In projects whose structures are made of concrete, the most important characteristic is the concrete's compressive strength[2].

In addition, estimating the compressive strength of concrete without damaging the concrete sample has always been one of the main concerns of researchers[1]. Therefore, the method of ultrasonic waves can help in this goal. Measuring the speed of ultrasonic waves and estimating their relationship with the compressive strength of different mixes can help to measure the strength of the concrete sample without placing the concrete sample under the compressive strength measuring device and breaking it, just by measuring the speed of the ultrasonic waves of the concrete sample[3].

Its pressure was achieved, without the concrete sample being damaged[4]. The compressive strength measuring device is used to determine the 28-day compressive strength of the samples, and the ultrasonic speed measuring device is used to measure the speed of the ultrasonic waves of the samples, but usually, their values are slightly different[5].

Nowadays, various researches have been conducted in the field of using neural networks in the design of concrete mixtures, mechanical properties of cement, and concrete strength[6]. Usually, concrete strength is considered based on cubic or cylindrical samples[7]. However, it is important to pay attention to this very important point that the samples tested in standard conditions may not be representative of the concrete used to make the real members[8].

2- Preparation of samples:

How to make mixtures:

All concretes are made by a mixer, and it should be mentioned that the method provided in Section 9 of Iran's National Regulations was used to mix the various constituents of concrete.

*Corresponding author's email: omran@engineer.com



Copyrights for this article are retained by the author(s) with publishing rights granted to Amirkabir University Press. The content of this article is subject to the terms and conditions of the Creative Commons Attribution 4.0 International (CC-BY-NC 4.0) License. For more information, please visit <https://www.creativecommons.org/licenses/by-nc/4.0/legalcode>.

Table 1. Mixing plan of concrete samples

140kg/m ³	Water
350kg/m ³	Cement
0.4	W/C
1050kg/m ³	Gravel
860kg/m ³	Sand

efficiency of mixtures:

The effectiveness of all mixtures was measured according to BS 1881: Part 102: 1983 standard using slump test.

Preparing the samples:

The recommendations of BS 1881: Part: 125: 1986 have been taken into account in making all the samples. For each mixture, three cubic samples with sides of 100 mm were made to measure the compressive strength at each age.

Implementation:

After concreting, the upper surface of all samples was quickly covered with nylon to prevent their water from evaporating in the first 24 hours. After the above time, the samples were removed from the mold and placed in Tehran water at a temperature of 20 degrees Celsius. It should be mentioned that the cubic samples related to the compressive strength and the rectangular cubic samples related to the tensile strength were kept in water until the test was performed.

compressive strength:

The compressive strength test was performed on 100 mm cubic samples according to BS 1881: Part 116: 1983.

3- The results of various tests and their comparison:

On-site laboratory results:

The results obtained in this section include samples made with changes in the grade of cement. Based on the changes in specific gravity in in-situ tests, it has been observed that by increasing the grade of cement up to 400 kg/m³, the value of specific weight has increased from 2360 MPa to 2418 kg/m³, which is an increase of 2.4%. Based on the 7-day compressive strength changes for in-situ tests in samples with different amounts of cement grade in the mixing plan, it has been observed that with the cement grade up to 400 kg/m³, the compressive strength value has increased from 19.7 MPa to 30.5 MPa, which is an equal to 54% increased. Based on the 28-day compressive strength changes for in-situ tests in samples with different amounts of cement grade in the mixing plan, it has been observed that with the cement grade up to 400 kg/m³, the compressive strength value has increased from 24.6 MPa to 38.1 MPa.

Ultrasonic test results:

The results obtained in this section include samples made with changes in the grade of cement. Based on the changes of

specific gravity in ultrasonic tests, it has been observed that with the increase of cement grade up to 400 kg/m³, the value of the specific weight has increased from 2360 MPa to 2418 kg/m³, which is an increase of 2.4%. Based on the 7-day compressive strength changes for ultrasonic tests in samples with different amounts of cement grade in the mixing plan, it has been observed that with cement grade up to 400 kg/m³, the compressive strength value has increased from 18.8 MPa to 29.3 MPa, which is an equal growth with 56%. Based on the changes in compressive strength of 28 days for ultrasonic tests in samples with different amounts of cement grade in the mixing plan, it has been observed that with cement grade up to 400 kg/m³, the compressive strength value has increased from 25.1 MPa to 39.2 MPa, which is an equal growth with 56%.

Core drilling test results:

Based on the changes in specific weight in core drilling tests, it has been observed that with the increase of cement grade up to 400 kg/m³, the value of the specific weight has increased from 2334 MPa to 2439 kg/m³, which is an increase of 4.4%. Based on the changes in compressive strength of 7 days for the creep tests in samples with different amounts of cement grade in the mixing plan, it has been observed that with the cement grade up to 400 kg/m³, the compressive strength value has increased from 21.9 MPa to 32.6 MPa, which is an equal growth with 48%. Based on the changes in compressive strength of 28 days for creep tests in samples with different amounts of cement grade in the mixing plan, it has been observed that with the cement grade up to 400 kg/m³, the compressive strength value has increased from 25.5 MPa to 39.3 MPa, which is a growth equal to with 52%.

Summary of results:

Based on the results of changes in specific weight based on changes in the type of test and grade of cement, it has been observed that the value of the results obtained for the parameter of specific weight of concrete obtained from sanding with increasing cement grade was higher than the values of in-situ and ultrasonic tests. Due to the sameness of the samples in in situ and ultrasonic tests, the amount of specific weight in these cases is equal to each other. In the cement grade of 400 kg/m³, the specific gravity value calculated in the creep test was higher than the results of the ultrasonic test and the in situ test. This is despite the fact that in the cement grade of 250 kg/m³, the results of the Core drilling test are lower than the results of the other two tests. Chart 12 shows the changes in 28-day compressive strength based on changes in the type of test and percentage of fibers. Based on the results of changes in 7-day compressive strength based on changes in the type of test and grade of cement, it has been observed that with the increase of cement grade, an upward trend has been recorded for 7-day compressive strength. The average compressive strength of 7 days in cement grade of 250 kg/m³ equals 20.1 MPa and in cement grade of 400 kg/m³ equals 30.8 MPa, which is an increase of 52%. Also, in all the tests, the compressive strength obtained in the Core drilling test was higher than the other results. The

lowest recorded values were related to the ultrasonic test. For example, in the grade of cement 400 kg/m³, the value of compressive strength obtained in the grinding method is 7% and 11.3% higher than the method of in situ testing and ultrasonic testing, respectively. On average, the value of compressive strength obtained in 8% and 14% higher than the in situ test method and ultrasonic test, respectively. Based on the results of changes in 28-day compressive strength based on changes in the type of test and grade of cement, it has been observed that with the increase of cement grade, an upward trend has been recorded for 28-day compressive strength. The average compressive strength of 28 days in cement grade of 250 kg/m³ is equal to 25.2 MPa and in cement grade of 400 kg/m³ it is equal to 38.9 MPa, which is an increase of 54%. Also, in almost all the tests, the compressive strength obtained in the Core drilling test was higher than the other results. The lowest recorded values were related to ultrasonic testing in most of the samples. For example, in cement grade of 350 kg/m³, the value of compressive strength obtained in the Core drilling method is 1% and 3% higher than in situ test and ultrasonic test, respectively. On average, the value of the compressive strength obtained in the Core drilling method is 1.9% and 2% higher than the in situ test method and the ultrasonic test, respectively. This shows that there is a certain difference between the different methods in the 28-day compressive strength. There is no and there was no particular dispersion in the recorded data.

4- Conclusions

Based on the specific gravity changes in the in-situ tests, it has been observed that by increasing the cement grade up to 400 kg/m³, the specific weight value has increased from 2360 MPa to 2418 kg/m³, which is an increase of 2.4%. For the ultrasonic test, the value of the specific gravity has increased from 2360 MPa to 2418 kg/m³, which is an increase of 2.4%, and for the waxing test, the value of the specific weight has increased from 2334 MPa to 2439 kg/m³, which is a growth of 4.4%. Regarding the 7-day compressive strength changes for in-situ tests in samples with different amounts of cement grade in the mixing design, it has been observed that with the cement grade up to 400 kg/m³, the compressive strength value has increased from 19.7 MPa to 30.5 MPa, which is an equal growth with 54%. The value of compressive strength for the ultrasonic test has increased from 18.8 MPa to 29.3 MPa, which is an increase of 56%, and for the wear test, the value of compressive strength has increased from 21.9 MPa to 32.6 MPa, which is a growth of 48%. In the 28-day compressive strength changes for in-situ tests in samples with different amounts of cement grade in the mixing plan, it has been observed that with the cement grade up to 400 kg/m³, the compressive strength value has increased from 24.6 MPa to 38.1 MPa, which is a growth equal to It is 55%. In the ultrasonic test, the compressive strength value has increased from 25.1 MPa to 39.2 MPa, which is an increase of 56%,

and for the creep test, the compressive resistance value has increased from 25.5 MPa to 39.3 MPa, which is a growth of 52%.

Based on the results of changes in specific weight based on changes in the type of test and grade of cement, it has been observed that the value of the results obtained for the parameter of specific weight of concrete obtained from sanding with increasing cement grade was higher than the values of in-situ and ultrasonic tests. Due to the sameness of the samples in situ and ultrasonic tests, the amount of specific weight in these cases is equal to each other. In the cement grade of 400 kg/m³, the specific gravity value calculated in the creep test was higher than the results of the ultrasonic test and the in situ test. This is despite the fact that in the cement grade of 250 kg/m³, the results of the Core drilling test are lower than the results of the other two tests.

Based on the results of changes in 7-day compressive strength based on changes in the type of test and grade of cement, it has been observed that with the increase of cement grade, an upward trend has been recorded for 7-day compressive strength. The average compressive strength of 7 days in cement grade of 250 kg/m³ equals 20.1 MPa and in cement grade of 400 kg/m³ equals 30.8 MPa, which is an increase of 52%. Also, in all the tests, the compressive strength obtained in the Core drilling test was higher than the other results. The lowest recorded values were related to the ultrasonic test. For example, in the grade of cement 400 kg/m³, the compressive strength value obtained in the sanding method is 7% and 11.3% higher than the in situ test and ultrasonic test, respectively. On average, the value of the compressive strength obtained in the Core drilling method is 8% and 14% higher than the in-situ test method and the ultrasonic test, respectively.

Based on the results of changes in 28-day compressive strength based on changes in the type of test and grade of cement, it has been observed that with the increase of cement grade, an upward trend has been recorded for 28-day compressive strength. The average compressive strength of 28 days in cement grade of 250 kg/m³ is equal to 25.2 MPa and in cement grade of 400 kg/m³ it is equal to 38.9 MPa, which is an increase of 54%. Also, in almost all the tests, the compressive strength obtained in the Core drilling test was higher than the other results. The lowest recorded values were related to ultrasonic testing in most of the samples. For example, in cement grade of 350 kg/m³, the value of compressive strength obtained in the Core drilling method is 1% and 3% higher than in situ test and ultrasonic test, respectively. On average, the value of the compressive strength obtained in the Core drilling method is 1.9% and 2% higher than the in-situ test method and the ultrasonic test, respectively. This shows that there is no special difference between the different methods in the 28-day compressive strength.

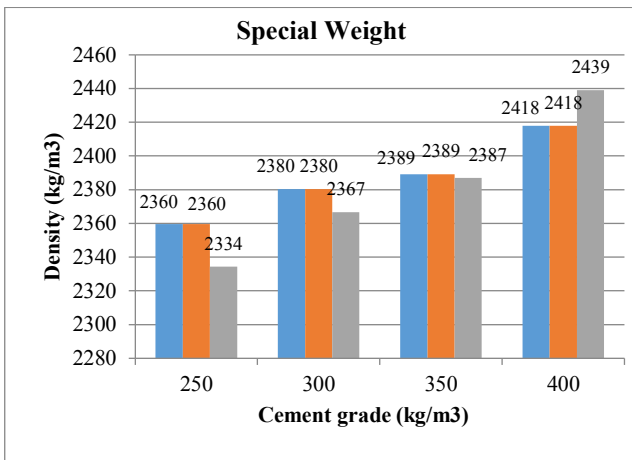


Fig. 1. Changes in specific gravity based on changes in the type of test and grade of cement

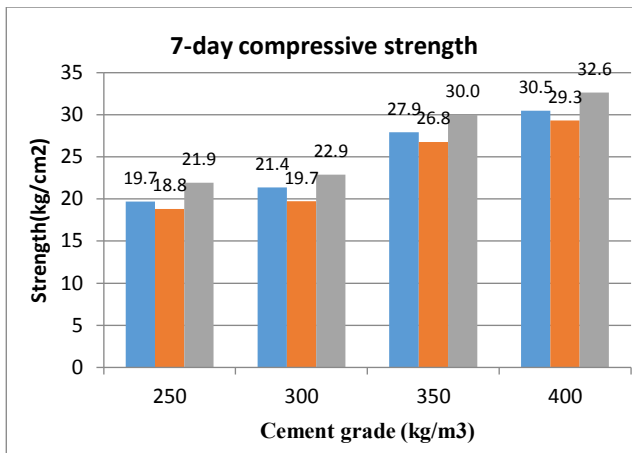


Fig. 2. 7-day compressive strength changes based on changes in test type and cement grade

References

- [1] J. Thomas, N.N. Thaickavil, P. Wilson, Strength and durability of concrete containing recycled concrete aggregates, *Journal of Building Engineering*, 19 (2018) 349-365.
- [2] M. Naderi, A. Kaboudan, A. Sadighi, Comparative Study on Water Permeability of Concrete Using Cylindrical Chamber Method and British Standard and Its Relation with Compressive Strength, *Journal of Rehabilitation in*

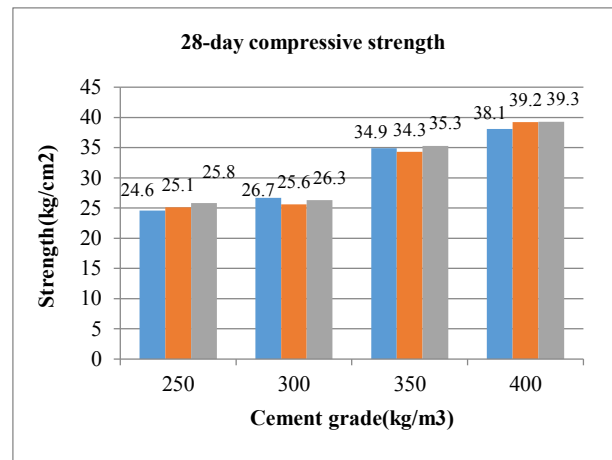


Fig. 3. 28-day compressive strength changes based on changes in test type and cement grade

Civil Engineering, 6(1) (2018) 116-131.

- [3] M. Yaqub, C. Bailey, Non-destructive evaluation of residual compressive strength of post-heated reinforced concrete columns, *Construction and building materials*, 120 (2016) 482-493.
- [4] Naderi. M, R. A, Effect of Aggregate Type on Durability of Self-Compacting Concretes in Freezing and Freezing Cycles, in: Third Conference on Strengthening and Urban Management Khomein, Islamic Azad University, Khomein Branch, 2011.
- [5] Rahimi. V, TalebPour. M, A. P, The effect of aggregate size on compressive strength of high strength concrete, in: 3rd International Conference on Seismic Reinforcement, 2009.
- [6] N.P. Kaur, J.K. Shah, S. Majhi, A. Mukherjee, Healing and simultaneous ultrasonic monitoring of cracks in concrete, *Materials Today Communications*, 18 (2019) 87-99.
- [7] Nili. M., Sasani. H., B. M, Investigation of the effect of recycled aggregates on the mechanical strength of self-compacting concretes, in: Sixth Annual National Iranian Concrete Conference, Tehran, Iran Concrete Association, 2015.
- [8] Moghimi. R, Zolfaghari. S, Maghsoudi. A, A. A, The effect of aggregate shape on the behavior of high-strength self-compacting concrete in paste and hardened phases, in: 5th National Concrete Conference of Iran, Tehran, Iran Concrete Association, 2012.

HOW TO CITE THIS ARTICLE

M. Golshani, K. Takin, S. Sabouri, Investigation of the behavior of recycled concrete and self-compacting concrete in road pavement construction using ultrasonic test and compare it with other methods, Amirkabir J. Civil Eng., 55(10) (2024) 425-430.

DOI: [10.22060/ceej.2023.21361.7695](https://doi.org/10.22060/ceej.2023.21361.7695)





بررسی رفتار ترکیب بتن بازیافتی و خودتراکم در ساخت روسازی راه به کمک آزمایش التراسونیک و مقایسه آن با سایر روشها

مسعود گلشنی^۱، کامبیز تکین^{۲*}، سعید صبوری^۲

- ۱- دانشکده مهندسی عمران، موسسه آموزش عالی پویش، قم، ایران
۲- گروه مهندسی عمران، واحد صفادشت، دانشگاه آزاد اسلامی، تهران، ایران.

تاریخچه داوری:

دریافت: ۱۴۰۱/۰۲/۱۱

بازنگری: ۱۴۰۱/۰۹/۱۳

پذیرش: ۱۴۰۱/۰۱/۱۱

ارائه آنلاین: ۱۴۰۲/۰۶/۲۶

کلمات کلیدی:

بتن

مقاومت فشاری

آزمایش درجا

آزمایش التراسونیک

آزمایش کرگیری

۱- مقدمه

فراصوتی می‌تواند به این هدف کمک نماید. اندازه گیری سرعت امواج فراصوتی و تخمین رابطه آن بر روی مقاومت فشاری درصد اختلاط‌های مختلف، می‌تواند کمک کند که بدون قرار دادن نمونه بتنی زیر دستگاه اندازه گیری مقاومت فشاری و شکستن آن، تنها با اندازه گیری سرعت امواج فراصوتی نمونه بتنی، به مقاومت فشاری آن دست یافته، بدون آن که نمونه بتنی آسیب دیده باشد^[۲]. از دستگاه اندازه گیری مقاومت فشاری برای تعیین مقاومت فشاری ۲۸ روزه نمونه‌ها، و از دستگاه اندازه-گیری سرعت امواج فراصوتی برای اندازه گیری سرعت امواج فراصوتی نمونه‌ها استفاده می‌شود ولی معمولاً مقادیر آنها با هم کمی اختلاف دارند^[۳].

امروزه تحقیقات مختلفی در زمینه استفاده از شبکه‌های عصبی در طراحی مخلوط‌های بتنی، خواص مکانیکی سیمان و مقاومت بتن انجام شده است. معمولاً مقاومت بتن بر مبنای نمونه‌های مکعبی یا استوانه‌ای

امروزه مصرف بتن روز به روز در کارهای مختلف ساختمانی افزایش می‌یابد و لزوم شناخت بیشتر مصالح تشکیل دهنده بتن همراه با تکنولوژی ساخت، در تمام جوامع مهندسی پذیرفته شده است. بتن از سه فاز تشکیل شده است: خمیر سیمان به عنوان یک ماتریس، ناحیه انتقال، و سنگدانه. نتایج به دست آمده در بسیاری از تحقیقات نشان می‌دهد که سایز سنگدانه‌ها تا حدود زیادی بر روی مقاومت بتن تأثیرگذار است. در پروژه‌هایی که سازه آن‌ها از بتن تشکیل یافته است مهم ترین مشخصه آن مقاومت فشاری بتن می‌باشد^[۱].

به علاوه، تخمین مقاومت فشاری بتن بدون آسیب رساندن به نمونه بتنی، همواره از دغدغه‌های اصلی محققین بوده است. لذا روش امواج

* نویسنده عهددار مکاتبات: omran@engineer.com



التراسونیک، مقاومت فشاری بتن بر مبنای نمونه های مکعبی با دقت مناسبی تخمین زده شود و همچنین بدون تغییر در ساختار کلی برنامه نویسی، قابلیت ارتقاء را نیز داشته باشد[۱۶, ۱۷].

در این مقاله هدف این است که نتایج مقاومت فشاری بتن خودتراکم با مصالح بازیافتی فشاری نمونه ها در سه حالت آزمایش درجا، کرگیری و التراسونیک بدست آمده و با هم مقایسه گردد.

۲- مشخصات و ویژگی های مصالح به کار رفته

۲-۱- سنگدانه ها

در این مقاله تنها از ریز دانه (ماشه‌ی سیلیسی) استفاده شده که در ادامه به بررسی ویژگی های مربوط به آن پرداخته می شود. باید به این نکته توجه داشت که به منظور داشتن یک بتن با کیفیت بالا، رعایت ملزمومات آئین نامه‌ی ASTM C33 الزامی می باشد. با توجه به اینکه تقریباً سه چهارم حجم بتن را مصالح سنگی تشکیل می دهند، لذا کیفیت مصالح سنگی در خواص بتن حاصله می تواند از اهمیت قابل توجهی برخوردار باشد. در این رابطه نه تنها مقاومت مصالح سنگی در مقدار مقاومت بتن تعیین کننده است، بلکه سایر خصوصیات سنگدانه ها نظیر بافت سطحی، شکل، ابعاد هندسی و وضعیت خلل و فرج داخلی آن ها می تواند تأثیر به سزایی بر دوام و عملکرد بتن داشته باشد. نوع و اندازه‌ی مصالح سنگی استفاده شده در بتن بسته به کاربرد این بتن متفاوت است. سنگدانه های مورد استفاده باید دارای قابلیت دوام بالا و عدم واکنش پذیری با سیمان باشند. برای درشت دانه بتن از بتن بازیافتی استفاده شده است.

سنگدانه های با ابعاد ریزتر از الک شماره‌ی ۴ که اندازه‌ی بعد آن ها کمتر ۴/۷۵ میلیمتر می باشد، ماشه نام دارد. به طور معمول در تهییه بتن از دو نوع ماشه به صورت رودخانه‌ای و شکسته کوهی استفاده می شود. مشخصات مصالح ریز دانه مورد استفاده در این مقاله در جدول ۱ تا ۳ آمده است. ماشه‌ی استفاده شده در تولید بتن (ماشه‌ی سیلیسی)، به غیر از قواعد مربوط به دانه بندی، می باید از تمامی ملزمومات موجود در آئین نامه‌ی ASTM C33 نیز پیروی کند.

ماشه‌ی سیلیسی مورد استفاده در بتن دارای ویژگی های زیر می باشد[۱۸]: تمامی ماشه باید شسته و به شکل کامل خشک شود. در این حالت ماشه عاری از هرگونه آلودگی و گل و لای خواهد بود، و همچنین امکان کنترل ساده‌تر نسبت آب به سیمان فراهم می شود.

ماشه‌ی سیلیسی دارای دانه های گرد یا نامنظم می باشد (از اشکال پولکی و یا سوزنی باید اجتناب شود). این ماشه ها می باید دارای بافت سطحی

در نظر گرفته می شود. اما باید به این نکته بسیار مهم دقت نمود که نمونه های آزمایش شده در شرایط استاندارد ممکن است معرف بتن بکار رفته برای ساخت اعضا واقعی نباشد.[۴] با توجه به این مسئله در سال های گذشته تلاش گسترده ای برای توسعه آزمایشات درجا بصورت غیرمخرب و نیمه-مخرب برای بررسی کیفیت بتن در محل صورت گرفته است. در روش غیرمخرب هیچ گونه آسیبی به سازه وارد نمی شود و آزمایش با سرعت انجام گرفته و هزینه آن پایین است[۵]. در حالی که در روش نیمه مخرب ضمن برجا گذاشتن خرابی جزئی در بتن سازه که می بایستی ترمیم شود، روش نسبتاً کند و از هزینه نسبتاً بالا در مقایسه با روش غیرمخرب برخوردار است[۶, ۷]. از مهمترین روش های غیرمخرب روش اولتراسونیک است. این روش با نام سرعت امواج پالسی ماورای صوت نیز شناخته می شود و اساس آن بر مبنای تعیین سرعت عبور امواج پالسی ماورای صوت از میان اجسام قرار دارد. با ارتباط دادن سرعت پالس با مقاومت فشاری بتن بر مبنای نمونه های استاندارد می توان مقاومت بتن در محل را در شرایط مشخص شده تعیین نمود[۸]. اساس روش اولتراسونیک اندازه گیری سرعت امواج ماورای صوت است که اساساً به خواص بتن بستگی داشته و تابعی داده است که سرعت امواج طولی به خواص الاستیک بستگی داشته و تابعی از مدول الاستیسیته و مرتبط با مقاومت است[۹]. بتن یک ماده مرکب است که شامل دو بخش جداگانه ماتریس و سنگدانه است که هر دو از خواص الاستیک و مقاومت متفاوت از هم برخوردار هستند. لذا رابطه سرعت امواج اولتراسونیک و مقاومت فشاری رابطه واحدی نمی باشد[۱۰]. وجود یک بانک اطلاعاتی فراگیر و دقیق، عامل مهمی در ایجاد صحیح یک شبکه عصبی می باشد. بدینهی است که اطلاعات ورودی برای ساخت شبکه، ضمن آن که باید شامل همه پارامترهای مورد نیاز باشد، لازم است در شرایط مشابه به دست آمده باشد تا اختلاف در روش تعیین آن ها باعث ایجاد خطای جواب های شبکه نگردد[۱۱]. عدم دسترسی به چنین بانک اطلاعاتی سبب گردید که اطلاعات اولیه جهت ایجاد شبکه عصبی، از طریق انجام آزمایش های گوناگون به دست آید[۱۲, ۶]. یکی از روش های غیرمستقیم در برآوردن مقاومت فشاری بتن استفاده از سیستم فازی می باشد که با استفاده از یک رابطه و توابع تعلق مثبتی یا زنگوله ای تعریف می شوند[۱۳]. این کنترل کننده ها دارای تعدادی قوانین برای تصمیم گیری و تعدادی توابع عضویت برای تبدیل متغیرهای زبانی و عددی به متغیرهای عددی قابل تشخیص برای مدل فازی می باشد[۱۴, ۱۵]. هدف به این منوال می باشد که سیستم فازی چنان طراحی شود که با تعیین نوع اختلاط و به ازای ورودی امواج

جدول ۱. خصوصیات ماسه‌ی سیلیسی

Table 1. Properties of silica sand

حداکثر درصد مواد موجود در ماسه‌ی سیلیسی	ترکیبات شیمیایی
۹۸-۹۶ درصد	سیلیسی (SiO ₂)
۱ درصد	نمک‌های حل شدنی (سولفات‌ها، کلریدها و مواد قلیایی CaO و K ₂ O, Na ₂ O نظیر)
۰/۵ درصد	خاک رس و مواد آلی
۰/۵ درصد	افت ناشی از احتراق
۲ درصد	رطوبت

جدول ۲. دانه‌بندی ماسه‌ی مصرفی

Table 2. Consumable sand granulation

شماره الک	اندازه‌ی الک (mm)	وزن مانده روی الک (gr)	وزن مانده تجمعی (gr)	درصد مانده روی الک	درصد تجمعی روی الک	درصد عبوری از الک
۴#	۴/۷۵	۰	۰	۰	۰	۱۰۰
۸#	۲/۳۶	۰/۱	۰/۱	۰/۰۱	۰/۰۱	۹۹/۹۹
۱۶#	۱/۱۸	۲	۲/۱	۰/۲۱	۰/۲۱	۹۹/۷۹
۳۰#	۰/۶	۳۵۴/۰۴	۳۵۶/۱۴	۳۵/۴۰۴	۳۵/۶۱۴	۶۴/۳۸۶
۵۰#	۰/۳	۴۶۰/۱۴	۴۶/۰۱۴	۴۶/۰۱۴	۸۱/۶۳	۱۸/۳۷۲
۱۰۰#	۰/۱۵	۱۵۴/۴۵	۹۷۰/۷۳	۱۵/۴۴۵	۹۷/۰۷۵	۲/۹۲۷
الک آخر	—	۲۹/۴۸	۱۰۰/۲۱	۲/۹۴۸	۱۰۰/۰۲	۰

جدول ۳. ترکیب شیمیایی ماسه‌ی مورد استفاده

Table 3. The chemical composition of the sand

L.O.I	K ₂ O	Na ₂ O	MgO	CaO	Fe ₂ O ₃	Al ₂ O ₃	SiO ₂	نوع عناصر موجود
۰/۰۱ - ۰/۳۵	۰/۰۲ - ۰/۰۶	۰ - ۰/۰۱	۰	۰/۰۷ - ۰/۲	۰/۲ - ۰/۶	۰/۴ - ۱/۷	۹۷ - ۹۹	درصد مواد موجود در ماسه

¹Loss on Ignition

جدول ۴. مشخصات فیزیکی سیمان مورد استفاده در این تحقیق

Table 4. Physical characteristics of cement used in this research

مقاومت فشاری (MPa)				زمان گیرش		مشخصه‌ی فیزیکی
۲۸ روزه	۷ روزه	۳ روزه	ثانویه (ساعت)	اولیه (دقیقه)	سطح مخصوص (m²/kg)	
۳۶/۵	۲۴	۱۳	۴	۹۰	۲۹۰۰	مقدار

جدول ۵. مشخصات شیمیایی سیمان مورد استفاده در این تحقیق

Table 5. Chemical characteristics of cement used in this research

K ₂ O	Na ₂ O	SO ₃	MgO	CaO	Fe ₂ O ₃	Al ₂ O ₃	SiO ₂	ترکیبات شیمیایی
۰/۷	۰/۲	۱/۷	۱/۸	۶۳/۵	۳/۲	۵/۹	۲۱/۶۸	درصد موجود در سیمان

همین دلیل، سیمان RHPG در دوران اولیه استفاده، به سرعت باعث افزایش مقاومت فشاری و استحکام بتن می‌شود[۱۸].

یکنواخت باشند (از بافت کندوی عسلی^۱ استفاده نشود).

ساختار شیمیایی موجود در ماسه‌ی سیلیسی می‌باید از مقادیر موجود در

جدول ۱ پیروی کند.

اندازه‌ی دانه‌های ماسه‌ی سیلیسی بر حسب روش تولید بتن متفاوت است. بر این اساس در صورت استفاده از روش پیش مخلوط، می‌باید حداقل اندازه‌ی دانه‌ها ۲/۴ میلی‌متر باشد (۱۰۰٪ دانه‌ها از الک شماره‌ی ۷ عبور کنند). در روش اسپری، حداقل اندازه‌ی دانه‌ها ۱/۲ میلی‌متر می‌باشد (۱۰۰٪ دانه‌ها از الک شماره‌ی ۱۴ عبور کنند)[۱۸].

۲-۳- آب

در صورت استفاده از آب غیر شرب، باید محدودیت‌های آئین نامه‌ی ASTM در جدول ۶ را برای ترکیبات شیمیایی موجود در آب لحاظ کرد. آب مورد استفاده در این تحقیق همان آب شرب بوده و تمامی مشخصات آن به مقدار قابل توجهی کمتر از مقادیر درج شده در این جدول است.

۲-۳- سیمان

مشخصات سیمان مورد استفاده برای ساخت نمونه‌ها در این مقاله در جداول ۴ و ۵ آورده شده است. سیمان‌های مختلف بسته به درصد ترکیباتی که دارند می‌توانند ویژگی‌های شیمیایی متفاوتی از خود نشان دهند. از جمله متداول‌ترین سیمان‌های مورد استفاده در تولید GFRC، سیمان پرتلند معمولی (OPC)² و سیمان پرتلند زود سخت شونده(RHPC)³ می‌باشند. RHPC به لحاظ شیمیایی بسیار شبیه OPC است، با این تفاوت که این سیمان دارای دانه بندی ریزتری نسبت به سیمان پرتلند معمولی می‌باشد. به

1 Honeycombed

2 Ordinary Portland Cement

3 Rapid Hardening Portland Cement

جدول ۶. محدودیتهای آئین نامه‌ای برای آب غیر شرب

Table 6. Legal restrictions for non-potable water

آئین نامه‌ای مورد استفاده (ASTM)	حداکثر میزان قابل قبول (ppm)	ترکیبات شیمیایی
D513	۶۰۰	دی اکسید کربن محلول
D511	۴۰۰	کلسیم + منیزیم
D512	۵۰۰	کلریدها
D4327	۱۰۰	فسفات
D3082	۱۰۰	بورون
D4191	۶۰۰	مواد قلیایی
D1888	۲۰۰۰	گل ولای
D1067	۸ - ۶	pH
D1603	۲۰۰۰	مواد جامد محلول

جدول ۷. مشخصات فوق روان کننده‌ی مورد استفاده

Table 7. Characteristics of the super lubricant used

درجه انجماد	درجه اشتعال	pH	یون کلر	وزن مخصوص gr/cm ³	شکل ظاهری
+۲	غیر آتش زا	۷/۵ - ۶/۵	کمتر از ۱/۰ درصد	۱/۱۱	مایع قهوه ای روشن

میلی‌متری برای اندازه‌گیری مقاومت فشاری در هر سن ساخته شده است.

۳- تهیه نمونه‌ها

۱- نحوه ساختن مخلوطها

همه بتن‌ها توسط مخلوطکن ساخته شده‌اند و لازم به ذکر است که برای مخلوط کردن اجزای مختلف تشکیل دهنده بتن از روش ارائه شده در مبحث ۹ مقررات ملی ایران استفاده گردیده است.

۲- کارایی مخلوطها

سنگ میزان کارایی کلیه مخلوطها بر اساس استاندارد: BS 1881: Part 102:1983 با استفاده از آزمایش اسلام‌پ انجام شده است.

۳- آماده کردن نمونه‌ها

در ساختن کلیه نمونه‌ها به توصیه‌های BS 1881:Part: 125: ۱۹۸۶ توجه شده است. برای هر مخلوط، سه نمونه مکعبی به ضلع ۱۰۰ میلی‌متری انجام شده است.

۴- مقاومت فشاری

آزمایش مقاومت فشاری بر اساس آئین نامه: BS 1881: Part 116: ۱۹۸۳ بر روی نمونه‌های مکعبی ۱۰۰ میلی‌متری انجام شده است.

جدول ۸. طرح اختلاط نمونه های بتنی

Table 8. Mixing plan of concrete samples

آب	۱۴۰ کیلوگرم بر متر مکعب
سیمان	۳۵۰ کیلوگرم بر متر مکعب
نسبت آب به سیمان	۰/۴
شن	۱۰۵۰ کیلوگرم بر متر مکعب
ماسه	۸۶۰ کیلوگرم بر متر مکعب

مصالح تحقیق و بررسی صورت گرفته است. درنهایت با استفاده از رابطه ۱ میزان مقاومت فشاری بتن بدست می‌آید.

۳-۶- طرح اختلاط نمونه های بتنی:

طرح اختلاط نمونه های بتنی به شرح جدول شماره ۸ می‌باشد.

$$F_C \approx \left(\frac{UPV}{K_{UPV} \rho^{0.5}} \right)^{\frac{2}{3}} \quad (Mpa) \quad (1)$$

در رابطه (۱) UPV سرعت امواج بر حسب کیلومتر، ρ چگالی بتن بر حسب کیلوگرم بر متر مکعب و K_{UPV} ضریبی است که بستگی به پارامترهای تأثیرگذار در بتن که به آنها اشاره شد، دارد. دستگاه التراسونیک شامل دو عدد گوشی (فرستنده و گیرنده امواج) مانند شکل (۱) می‌باشد. زمان عبور امواج از بتن توسط نمایشگر روی دستگاه قابل مشاهده می‌باشد. با توجه به روابط موجود مقاومت فشاری برای هر بتنی قابل تعیین است [۲۰].

۵- صحت سنجی

برای انجام صحت سنجی در این مقاله از مقاله تنزا استفاده شده است [۱۸، ۲۰]. در این مقاله ۲۵ مورد نمونه بتن با استفاده از آزمایش التراسونیک و نیز آزمایش کرگیری مورد بررسی قرار گرفتند. مقایسه بین نتایج حاصل از آزمایش مخرب و غیر مخرب نمونه های بتنی نسبت به مقاله حاضر تقریباً دارای همان میزان تفاوت می‌باشد. یعنی تفاوت بین مقاومت فشاری نمونه ها در تست مخرب و التراسونیک بترتیب $25/2$ و $23/4$ مگاپاسکال بوده است و نتایج بدست آمده در آزمایشگاه با همین طرح اختلاط بترتیب $24/8$ و $23/3$ حدود $6/2$ درصد است که اختلاف $8/0$ درصدی دارد.

۴- آزمایش التراسونیک

به دلیل مسایل اقتصادی و بالا بودن هزینه دستگاه های التراسونیک بتن، تحقیق زیادی روی این آزمایش در ایران صورت نپذیرفته است. حتی به دلیل عدم آشنایی کامل مهندسان و نبود مشتری در این باب برای آزمایشگاه های خصوصی صرفه اقتصادی وجود نداشته و اکثر آزمایشگاه ها مجهز به این دستگاه نیستند. با توجه به سهولت و نیاز به زمان کم این آزمایش در بین کشورهای دیگر استفاده از این فناوری با سرعت رو به افزایش است. گواه این امر میزان قابل توجه مقالات معتبر و تحقیقات علمی در چند سال اخیر می‌باشد. با توجه به پیشرفت های پر شتاب ایران اسلامی در زمینه مهندسی عمران امید است که استفاده از این فناوری به سرعت رایج و باعث افزایش کیفیت سازه ها و زیر ساخت های کشور در این زمینه شود. در این تحقیق به نحوه استفاده و تحلیل جواب های حاصل از این دستگاه پرداخته و به دنبال آن رفتار عضو مورد آزمایش بررسی می‌گردد [۱۹].

الکساندر بوگاس و همکارانش کار آزمایشگاهی جامعی را روی ۸۴ ترکیب مختلف با سن 30 تا 180 روز برای مقاومت فشاری در محدوده 30 تا 80 مگاپاسکال انجام دادند که این تحقیقات منجر به بدست آوردن فرمولی جهت کسب مقاومت فشاری انواع مختلف بتن با استفاده از سرعت امواج التراسونیک گشت. همچنین در این مرجع برای تمامی موارد تأثیرگذار در بتن مانند، مقدار مصالح، نوع مصالح درشت دانه و ریزدانه، سن بتن، نسبت آب به سیمان، اندازه اسمی دانه ها، نوع و مقدار مواد افزودنی و درصد رطوبت اولیه



شکل ۱. دستگاه التراسونیک (PUNDIT6) و ملحقات

Fig. 1. Ultrasonic device (PUNDIT6) and accessories

جدول ۹. نتایج مربوط به مقاومت فشاری نمونه‌ها

Table 9. The results related to the compressive strength of the samples

نام طرح	وزن مخصوص خشک (کیلوگرم بر متر مکعب)	مقاومت ۲۸ روزه (MPa)
عيار ۲۵۰ (درج)	۲۳۵۹/۵	۲۴/۶
عيار ۳۰۰ (درج)	۲۳۸۰/۴	۲۶/۷
عيار ۳۵۰ (درج)	۲۳۸۹/۲	۳۴/۹
عيار ۴۰۰ (درج)	۲۴۱۷/۸	۳۸/۱
عيار ۲۵۰ (التراسونیک)	۲۳۵۹/۵	۲۵/۱
عيار ۳۰۰ (التراسونیک)	۲۳۸۰/۴	۲۵/۶
عيار ۳۵۰ (التراسونیک)	۲۳۸۹/۲	۳۴/۳
عيار ۴۰۰ (التراسونیک)	۲۴۱۷/۸	۳۸/۲
عيار ۲۵۰ (کرگیری)	۲۴۰۶/۶	۲۵/۸
عيار ۳۰۰ (کرگیری)	۲۴۳۹/۹	۲۶/۳
عيار ۳۵۰ (کرگیری)	۲۴۶۰/۸	۳۵/۳
عيار ۴۰۰ (کرگیری)	۲۵۱۴/۴	۳۹/۳

و در ادامه همان نمونه مورد شکست واقع شده است.

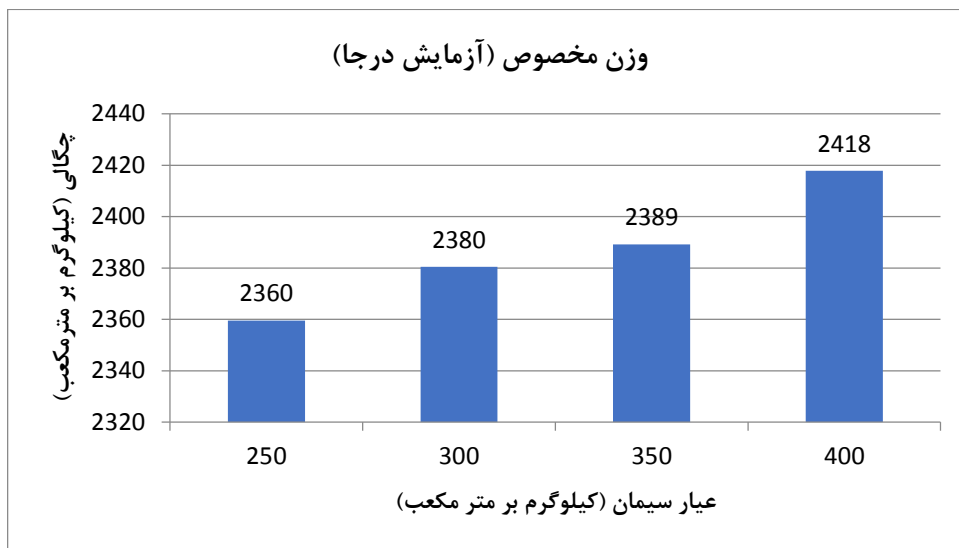
۶- نتایج آزمایشگاهی

در این مقاله به منظور بررسی مقاومت، نمونه‌های ساخته شده پس از ۲۸ روز مورد آزمایش قرار گرفته‌اند. مقاومت فشاری ۲۸ روزه مربوط به هر طرح اختلاط در جدول ۹ ارائه شده است. از نمونه‌های یکسان جهت بررسی دقیق نتایج دستگاه آltrasonیک استفاده شده است. بدین صورت ابتدا نمونه‌ها با استفاده از آزمایش غیرمخرب آltrasonیک مورد آزمایش واقع شده‌اند،

۷- نتایج انواع آزمایشها و مقایسه آنها

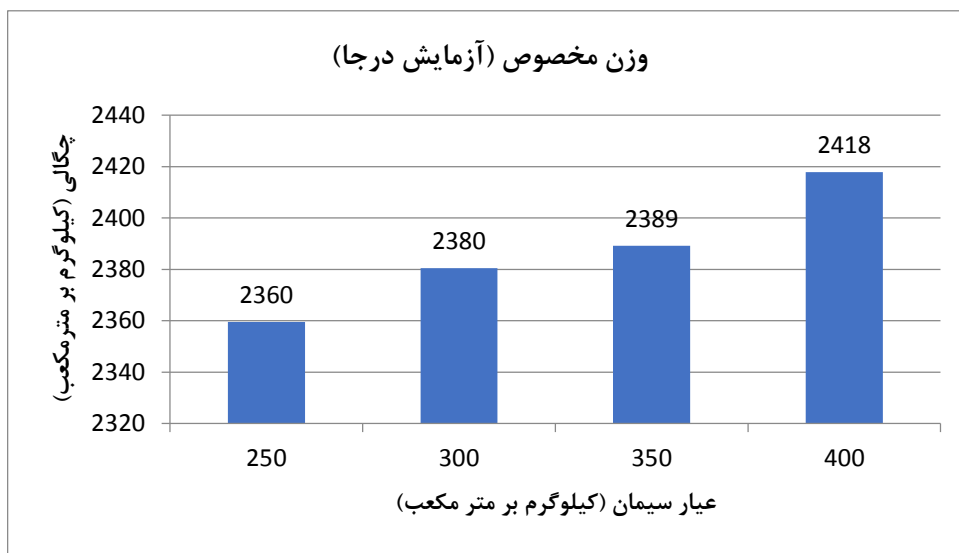
۷-۱- نتایج آزمایشگاهی درجا

نتایج به دست آمده در این بخش شامل نمونه‌های ساخته شده با تغییرات در عیار سیمان می‌باشد. در ادامه و در شکل ۲ تغییرات وزن



شکل ۲. تغییرات وزن مخصوص در آزمایش های درجا

Fig. 2. Changes in specific gravity in experiments



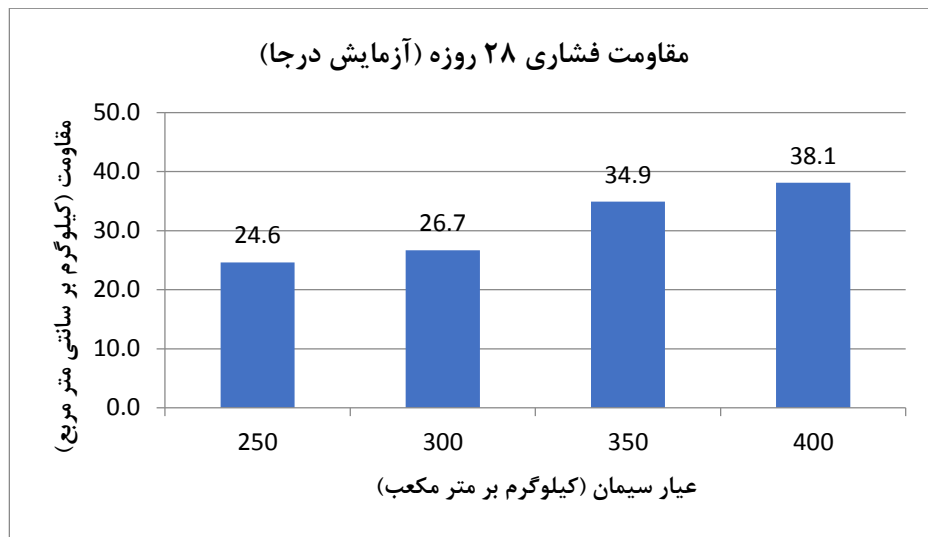
شکل ۳. تغییرات مقاومت فشاری ۷ روزه در آزمایش های درجا

Fig. 3. 7-day compressive strength changes in tests

بر اساس تغییرات مقاومت فشاری ۷ روزه برای آزمایش های درجا در نمونه های با مقادیر مختلف عیار سیمان در طرح اختلاط مشاهده شده است که با عیار سیمان تا ۴۰۰ کیلوگرم بر متر مکعب مقدار مقاومت فشاری از ۱۹/۷ مگاپاسکال به ۳۰/۵ مگاپاسکال افزایش داشته است که رشدی برابر با ۵۴٪ می باشد. در نهایت، در شکل ۴ تغییرات مقاومت فشاری ۲۸ روزه در این نمونه ها نمایش داده شده است.

مخصوص در این نمونه ها نمایش داده شده است.

بر اساس تغییرات وزن مخصوص در آزمایش های درجا مشاهده شده است که با افزایش عیار سیمان تا ۴۰۰ کیلوگرم بر متر مکعب وزن مخصوص از ۲۳۶۰ مگاپاسکال به ۲۴۱۸ کیلوگرم بر متر مکعب افزایش داشته است که رشدی برابر با ۲/۴٪ می باشد. همچنین در شکل ۳ تغییرات مقاومت فشاری ۷ روزه نمونه ها ارائه شده است.



شکل ۴. تغییرات مقاومت فشاری ۲۸ روزه در آزمایش های درجا

Fig. 4. 28-day compressive strength changes in tests

داشته است که رشدی برابر با ۲/۴٪ می باشد. همچنین در شکل ۶ تغییرات

مقاومت فشاری ۷ روزه نمونه ها ارائه شده است.

بر اساس تغییرات مقاومت فشاری ۷ روزه برای آزمایش های التراسونیک

در نمونه های با مقادیر مختلف عیار سیمان در طرح اختلاط مشاهده شده

است که با عیار سیمان تا ۴۰۰ کیلوگرم بر متر مکعب مقدار مقاومت فشاری

از ۱۸/۸ مگاپاسکال به ۲۹/۳ مگاپاسکال افزایش داشته است که رشدی برابر

با ۵۶٪ می باشد. در نهایت، در شکل ۷ تغییرات مقاومت فشاری ۲۸ روزه در

این نمونه ها نمایش داده شده است.

بر اساس تغییرات مقاومت فشاری ۲۸ روزه برای آزمایش های

التراسونیک در نمونه های با مقادیر مختلف عیار سیمان در طرح اختلاط

مشاهده شده است که با عیار سیمان تا ۴۰۰ کیلوگرم بر متر مکعب مقدار

مقاومت فشاری از ۲۵/۱ مگاپاسکال به ۳۹/۲ مگاپاسکال افزایش داشته است

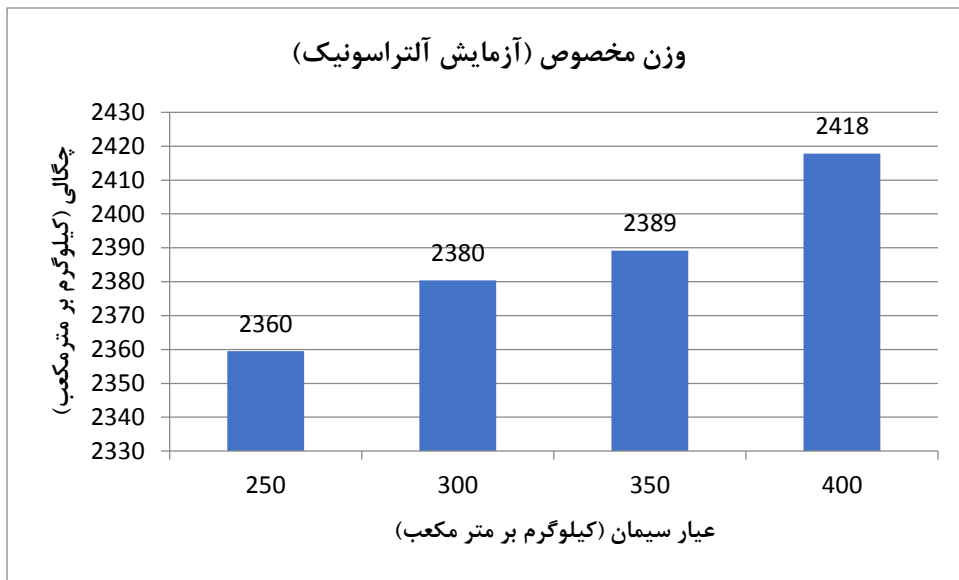
که رشدی برابر با ۵۶٪ می باشد.

بر اساس تغییرات مقاومت فشاری ۲۸ روزه برای آزمایش های درجا در نمونه های با مقادیر مختلف عیار سیمان در طرح اختلاط مشاهده شده است که با عیار سیمان تا ۴۰۰ کیلوگرم بر متر مکعب مقدار مقاومت فشاری از ۲۴/۶ مگاپاسکال به ۳۸/۱ مگاپاسکال افزایش داشته است که رشدی برابر با ۵۵٪ می باشد.

۷- نتایج آزمایش التراسونیک

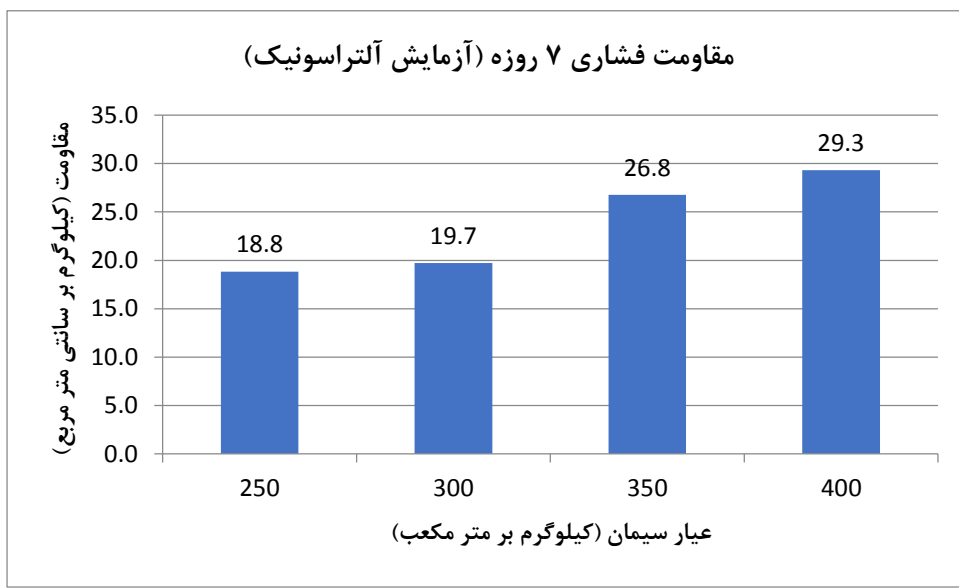
نتایج به دست آمده در این بخش شامل نمونه های ساخته شده با تغییرات در عیار سیمان می باشد. در ادامه و در شکل ۵ تغییرات وزن مخصوص در این نمونه ها نمایش داده شده است.

بر اساس تغییرات وزن مخصوص در آزمایش های التراسونیک مشاهده شده است که با افزایش عیار سیمان تا ۴۰۰ کیلوگرم بر متر مکعب مقدار وزن مخصوص از ۲۳۶۰ مگاپاسکال به ۲۴۱۸ کیلوگرم بر متر مکعب افزایش



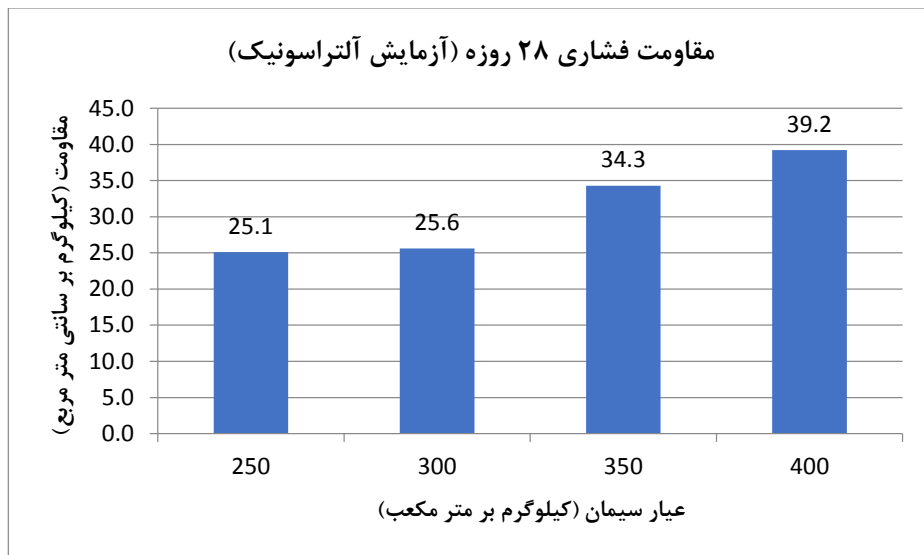
شکل ۵. تغییرات وزن مخصوص در آزمایش های التراسونیک

Fig. 5. Changes in specific gravity in ultrasonic tests



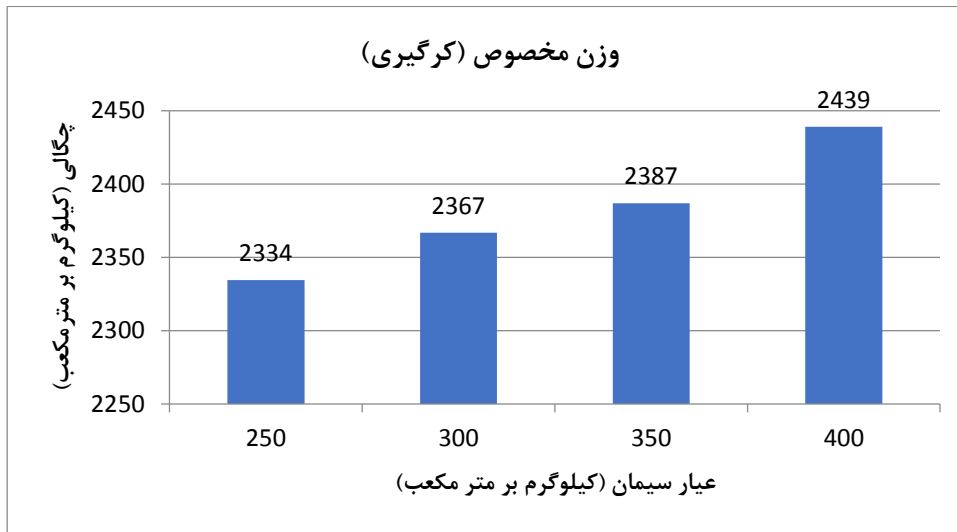
شکل ۶. تغییرات مقاومت فشاری ۷ روزه در آزمایش های التراسونیک

Fig. 6. 7-day compressive strength changes in ultrasonic tests



شکل ۷. تغییرات مقاومت فشاری ۲۸ روزه در آزمایش های التراسونیک

Fig. 7. 28-day compressive strength changes in ultrasonic tests



شکل ۸. تغییرات وزن مخصوص در آزمایش های کرگیری

Fig. 8. Changes in specific gravity in core drilling test

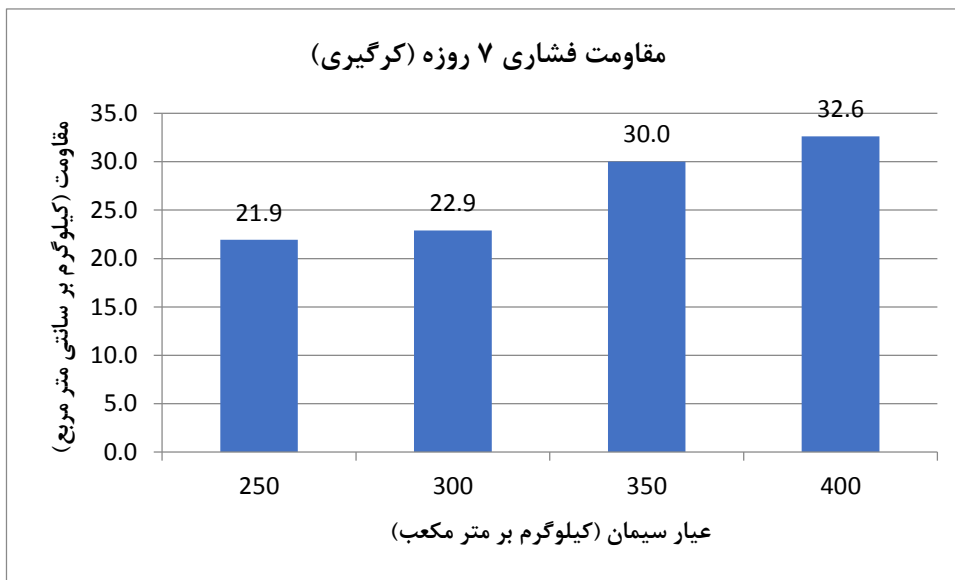
است که رشدی برابر با ۴/۴٪ می باشد. همچنین

در شکل ۹ تغییرات مقاومت فشاری ۷ روزه نمونه ها ارائه شده است. بر اساس تغییرات مقاومت فشاری ۷ روزه برای آزمایش های کرگیری در نمونه های با مقادیر مختلف عیار سیمان در طرح اختلاط مشاهده شده است که با عیار سیمان تا ۴۰۰ کیلوگرم بر متر مکعب مقدار مقاومت فشاری از ۲۱/۹ مگاپاسکال به ۳۲/۶ مگاپاسکال افزایش داشته است که رشدی برابر با ۴۸٪ می باشد. در نهایت، در شکل ۱۰ تغییرات مقاومت فشاری ۲۸ روزه

۳-۳-نتایج آزمایش کرگیری

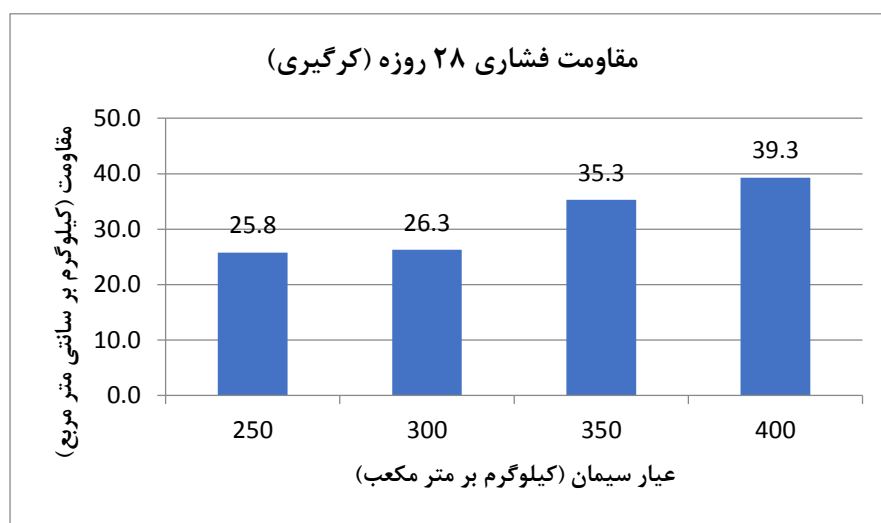
نتایج به دست آمده در این بخش شامل نمونه های ساخته شده با تغییرات در عیار سیمان می باشد. در ادامه و در شکل ۸ تغییرات وزن مخصوص در این نمونه ها نمایش داده شده است.

بر اساس تغییرات وزن مخصوص در آزمایش های کرگیری مشاهده شده است که با افزایش عیار سیمان تا ۴۰۰ کیلوگرم بر متر مکعب مقدار وزن مخصوص از ۲۳۳۴ مگاپاسکال به ۲۴۳۹ کیلوگرم بر متر مکعب افزایش داشته



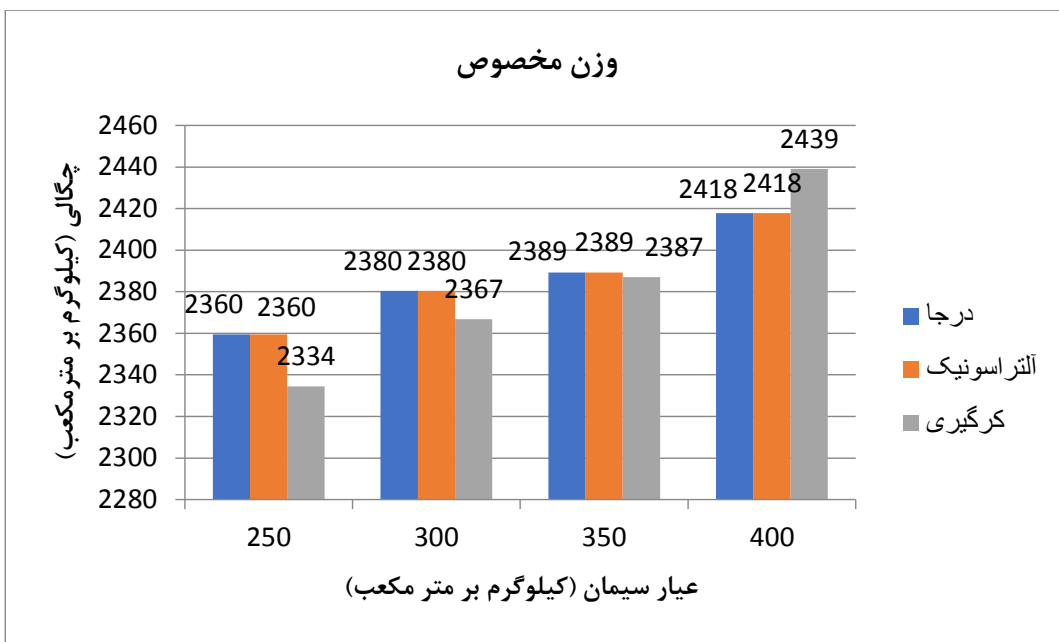
شکل ۹. تغییرات مقاومت فشاری ۷ روزه در آزمایش های کرگیری

Fig. 9. Changes of 7-day compressive strength in core drilling test



شکل ۱۰. تغییرات مقاومت فشاری ۲۸ روزه در آزمایش های کرگیری

Fig. 10. Changes of 28-day compressive strength in core drilling test



شکل ۱۱. تغییرات وزن مخصوص بر اساس تغییرات در نوع آزمایش و عیار سیمان

Fig. 11. Changes in specific gravity based on changes in the type of test and grade of cement

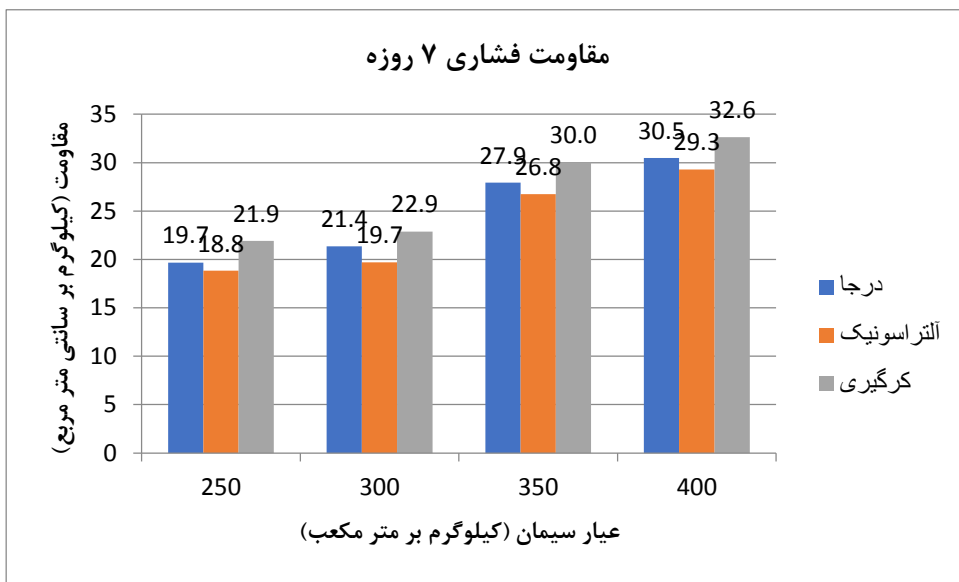
التراسونيك و آزمایش درجا بوده است. این در حالی است که در عیار سیمان ۲۵۰ کیلوگرم بر متر مکعب نتایج آزمایش کرگیری کمتر از نتایج دو آزمایش دیگر تعیین شده است. در نمودار ۱۲ تغییرات مقاومت مقاومت فشاری ۲۸ روزه بر اساس تغییرات در نوع آزمایش و درصد الیاف نمایش داده شد است. بر اساس نتایج تغییرات مقاومت فشاری ۷ روزه بر اساس تغییرات در نوع آزمایش و عیار سیمان مشاهده شده است که با افزایش عیار سیمان روندی صعودی برای مقاومت فشاری ۷ روزه ثبت شده است. به صورت میانگین مقاومت فشاری ۷ روزه در عیار سیمان ۲۵۰ کیلوگرم بر متر مکعب برابر با ۲۰/۱ مگاپاسکال و در عیار سیمان ۴۰۰ کیلوگرم بر متر مکعب برابر با ۳۰/۸ مگاپاسکال ثبت شده است که رشدی برابر با ۵۲٪ بوده است. همچنین در کلیه آزمایش های صورت گرفته مقدار مقاومت فشاری کسب شده در آزمایش کرگیری بالاتر از سایر نتایج بوده است. کمترین مقادیر ثبت شده نیز مربوط به آزمایش التراسونیک بوده است. به عنوان مثال در عیار سیمان ۴۰۰ کیلوگرم بر متر مکعب، مقدار مقاومت فشاری کسب شده در روش کرگیری نسبت به روش آزمایش درجا و آزمایش التراسونیک به ترتیب ۷٪ و ۱۱/۳٪ بالاتر به دست آمده است. به صورت میانگین، مقدار مقاومت فشاری کسب شده در روش کرگیری نسبت به روش آزمایش درجا و آزمایش التراسونیک به ترتیب ۸٪ و ۱۴٪ بالاتر به دست آمده است.

در این نمونه ها نمایش داده شده است. بر اساس تغییرات مقاومت فشاری ۲۸ روزه برای آزمایش های کرگیری در نمونه های با مقادیر مختلف عیار سیمان در طرح اختلاط مشاهده شده است که با عیار سیمان تا ۴۰۰ کیلوگرم بر متر مکعب مقدار مقاومت فشاری از ۲۵/۵ مگاپاسکال به ۳۹/۳ مگاپاسکال افزایش داشته است که رشدی برابر با ۵۲٪ می باشد.

۴- جمع بندی نتایج

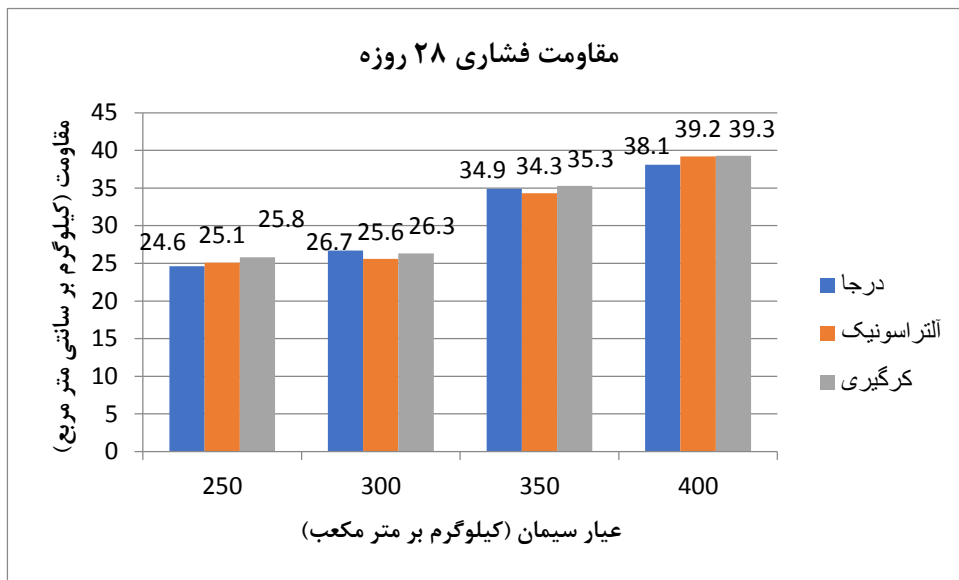
در ادامه به جمع بندی نتایج به دست آمده برای کلیه حالات مورد بررسی پرداخته شده است. در شکل ۱۱ تغییرات وزن مخصوص بر اساس تغییرات در نوع آزمایش و عیار سیمان نمایش داده شده است.

بر اساس نتایج تغییرات وزن مخصوص بر اساس تغییرات در نوع آزمایش و عیار سیمان مشاهده شده است که مقدار نتایج به دست آمده برای پارامتر وزن مخصوص بن حاصل از کرگیری با افزایش عیار سیمان بالاتر از مقادیر آزمایش های درجا و التراسونیک بوده است. با توجه به یکسان بودن نمونه ها در آزمایش های درجا و التراسونیک، مقدار وزن مخصوص در این حالات با یکدیگر برابر می باشد. در عیار سیمان ۴۰۰ کیلوگرم بر متر مکعب مقدار وزن مخصوص محاسبه شده در آزمایش کرگیری بالاتر از نتایج آزمایش



شکل ۱۲. تغییرات مقاومت فشاری ۷ روزه بر اساس تغییرات در نوع آزمایش و عیار سیمان

Fig. 12. 7-day compressive strength changes based on changes in test type and cement grade



شکل ۱۳. تغییرات مقاومت فشاری ۲۸ روزه بر اساس تغییرات در نوع آزمایش و عیار سیمان

Fig. 13. 28-day compressive strength changes based on changes in test type and cement grade

می باشد و برای آزمایش کرگیری مقدار مقاومت فشاری از $21/9$ مگاپاسکال به $32/6$ مگاپاسکال افزایش داشته است که رشدی برابر با 48% می باشد. در تغییرات مقاومت فشاری 28 روزه برای آزمایش های درجا در نمونه های با مقادیر مختلف عیار سیمان در طرح اختلاط مشاهده شده است که با عیار سیمان تا 400 کیلوگرم بر متر مکعب مقدار مقاومت فشاری از $24/6$ مگاپاسکال به $38/1$ مگاپاسکال افزایش داشته است که رشدی برابر با 55% می باشد. در آزمایش التراسونیک مقدار مقاومت فشاری از $25/1$ مگاپاسکال به $39/2$ مگاپاسکال افزایش داشته است که رشدی برابر با 56% می باشد و برای آزمایش کرگیری مقدار مقاومت فشاری از $25/5$ مگاپاسکال به $39/3$ مگاپاسکال افزایش داشته است که رشدی برابر با 52% می باشد.

بر اساس نتایج تغییرات وزن مخصوص بر اساس تغییرات در نوع آزمایش و عیار سیمان مشاهده شده است که مقدار نتایج به دست آمده برای پارامتر وزن مخصوص بتن حاصل از کرگیری با افزایش عیار سیمان بالاتر از مقادیر آزمایش های درجا و التراسونیک بوده است. با توجه به یکسان بودن نمونه ها در آزمایش های درجا و التراسونیک، مقدار وزن مخصوص در این حالات با یکدیگر برابر می باشد. در عیار سیمان 400 کیلوگرم بر متر مکعب مقدار وزن مخصوص محاسبه شده در آزمایش کرگیری بالاتر از نتایج آزمایش التراسونیک و آزمایش درجا بوده است. این در حالی است که در عیار سیمان 250 کیلوگرم بر متر مکعب نتایج آزمایش کرگیری کمتر از نتایج دو آزمایش دیگر تعیین شده است.

بر اساس نتایج تغییرات مقاومت فشاری 7 روزه بر اساس تغییرات در نوع آزمایش و عیار سیمان مشاهده شده است که با افزایش عیار سیمان روندی صعودی برای مقاومت فشاری 7 روزه ثبت شده است. به صورت میانگین مقاومت فشاری 7 روزه در عیار سیمان 250 کیلوگرم بر متر مکعب برابر با $20/1$ مگاپاسکال و در عیار سیمان 400 کیلوگرم بر متر مکعب برابر با $30/8$ مگاپاسکال ثبت شده است که رشدی برابر با 52% بوده است. همچنین در کلیه آزمایش های صورت گرفته مقدار مقاومت فشاری کسب شده از آزمایش التراسونیک بوده است. به عیار سیمان 400 کیلوگرم بر متر مکعب مقدار کلیه آزمایش های درجا و آزمایش التراسونیک به ترتیب $1/9$ و $2/4$ ٪ بالاتر از نتایج آزمایش درجا و آزمایش آتراسونیک به ترتیب $1/9$ و $2/2$ ٪ بالاتر به دست آمده است. این امر نشان می دهد که در مقاومت فشاری 28 روزه تفاوت خاصی بین روش های مختلف وجود ندارد و پراکندگی خاصی در داده های ثبت شده وجود نداشته است.

۸- نتیجه گیری

مهم ترین نتایج و یافته های این تحقیق به شرح زیر می باشد:
بر اساس تغییرات وزن مخصوص در آزمایش های درجا مشاهده شده است که با افزایش عیار سیمان تا 400 کیلوگرم بر متر مکعب مقدار وزن مخصوص از 2360 مگاپاسکال به 2418 کیلوگرم بر متر مکعب افزایش داشته است که رشدی برابر با $2/4$ ٪ می باشد. برای آزمایش التراسونیک نیز مقدار وزن مخصوص از 2360 مگاپاسکال به 2418 کیلوگرم بر متر مکعب افزایش داشته است که رشدی برابر با $2/4$ ٪ می باشد و برای آزمایش کرگیری مقدار وزن مخصوص از 2334 مگاپاسکال به 2439 کیلوگرم بر متر مکعب افزایش داشته است که رشدی برابر با $4/4$ ٪ می باشد.

در مورد تغییرات مقاومت فشاری 7 روزه برای آزمایش های درجا در نمونه های با مقادیر مختلف عیار سیمان در طرح اختلاط مشاهده شده است که با عیار سیمان تا 400 کیلوگرم بر متر مکعب مقدار مقاومت فشاری از $7/19$ مگاپاسکال به $30/5$ مگاپاسکال افزایش داشته است که رشدی برابر با 54% می باشد. مقدار مقاومت فشاری برای آزمایش التراسونیک از $18/8$ مگاپاسکال به $29/3$ مگاپاسکال افزایش داشته است که رشدی برابر با 56% .

Iran Concrete Association, 2012.

- [5] Oral Büyüköztürk, M.A. Taşdemir, Nondestructive Testing of Materials and Structures, Springer Dordrecht, 2012.
- [6] Yoosefvand. F., Nikoodel. M., Raeisi. A., M. Sh, Investigation of the effect of aggregate type on the compressive strength of concrete, in: 15th Conference of Civil Students across the country, Urmia, Civil Student Scientific Association of Urmia University, 2015.
- [7] M. Yaqub, C. Bailey, Non-destructive evaluation of residual compressive strength of post-heated reinforced concrete columns, Construction and building materials, 120 (2016) 482-493.
- [8] Shafaei. M, Masoodi. F, Application of petrography in the study of the quality of concrete aggregates, a case study in the Kan region of Tehran province, in: the 6th National Geological Conference of Payame Noor University, Kerman, Payame Noor University, center of Kerman, 2012.
- [9] Nili. M., Sasani. H., B. M, Investigation of the effect of recycled aggregates on the mechanical strength of self-compacting concretes, in: Sixth Annual National Iranian Concrete Conference, Tehran, Iran Concrete Association, 2015.
- [10] Sarbaz. M., P. F, Investigation of the effect of aggregate geometric shape on compressive strength of concrete, in: 2nd National Conference on Civil Engineering and Sustainable Development of IranTehran, Center for Strategies for Achieving Sustainable Development, 2015.
- [11] Tadayon. M., Mohajeri. P., S.M. R, Investigation of the effect of aggregate shape on the compressive strength of concrete, in: First National Conference on Civil Engineering and Development, Rasht, Islamic Azad University, Lasht-e-Nasha Branch, 2015.
- [12] R. Doroudi, S.H. Hosseini Lavassani, M. Shahrouzi, Predicting acceleration response of super-tall buildings by support vector regression, The Structural Design of Tall and Special Buildings, (2023) e2049.
- [13] S.H.H. Lavasani, R. Doroudi, Meta heuristic active and semi-active control systems of high-rise building,

بر اساس نتایج تغییرات مقاومت فشاری ۲۸ روزه بر اساس تغییرات در نوع آزمایش و عیار سیمان مشاهده شده است که با افزایش عیار سیمان روندی صعودی برای مقاومت فشاری ۲۸ روزه ثبت شده است. به صورت میانگین مقاومت فشاری ۲۸ روزه در عیار سیمان ۲۵۰ کیلوگرم بر متر مکعب برابر با $\frac{25}{2}$ مگاپاسکال و در عیار سیمان ۴۰۰ کیلوگرم بر متر مکعب برابر با $\frac{38}{9}$ مگاپاسکال ثبت شده است که رشدی برابر با $\frac{54}{9}$ % بوده است. همچنین تقریباً در کلیه آزمایش‌های صورت گرفته مقدار مقاومت فشاری کسب شده در آزمایش کرگیری بالاتر از سایر نتایج بوده است. کمترین مقادیر ثبت شده نیز در اکثر نمونه‌ها مربوط به آزمایش التراسونیک بوده است. به عنوان مثال در عیار سیمان ۳۵۰ کیلوگرم بر متر مکعب، مقدار مقاومت فشاری کسب شده در روش کرگیری نسبت به روش آزمایش درجا و آزمایش التراسونیک به ترتیب ۱% و ۳% بالاتر به دست آمده است. به صورت میانگین، مقدار مقاومت فشاری کسب شده در روش کرگیری نسبت به روش آزمایش درجا و آزمایش التراسونیک به ترتیب $\frac{19}{2}$ % و $\frac{2}{2}$ % بالاتر به دست آمده است. این امر نشان می‌دهد که در مقاومت فشاری ۲۸ روزه تفاوت خاصی بین روش‌های مختلف وجود ندارد و پراکندگی خاصی در داده‌های ثبت شده وجود نداشته است.

منابع

- [1] M. Naderi, A. Kaboudan, A. Sadighi, Comparative Study on Water Permeability of Concrete Using Cylindrical Chamber Method and British Standard and Its Relation with Compressive Strength, Journal of Rehabilitation in Civil Engineering, 6(1) (2018) 116-131.
- [2] Nader. M, R. A, Effect of Aggregate Type on Durability of Self-Compacting Concretes in Freezing and Freezing Cycles, in: Third Conference on Strengthening and Urban Management Khomein, Islamic Azad University, Khomein Branch, 2011.
- [3] Rahimi. V, TalebPour. M, A. P, The effect of aggregate size on compressive strength of high strength concrete, in: 3rd International Conference on Seismic Reinforcement, 2009.
- [4] Moghimi. R, Zolfaghari. S, Maghsoudi. A, A. A, The effect of aggregate shape on the behavior of high-strength self-compacting concrete in paste and hardened phases, in: 5th National Concrete Conference of Iran, Tehran,

- (2017) 394-404.
- [18] N.P. Kaur, J.K. Shah, S. Majhi, A. Mukherjee, Healing and simultaneous ultrasonic monitoring of cracks in concrete, *Materials Today Communications*, 18 (2019) 87-99.
- [19] A. Ashrafiyan, M.J.T. Amiri, M. Rezaie-Balf, T. Ozbakkaloglu, O. Lotfi-Omrani, Prediction of compressive strength and ultrasonic pulse velocity of fiber reinforced concrete incorporating nano silica using heuristic regression methods, *Construction and Building Materials*, 190 (2018) 479-494.
- [20] A.J. Tenza-Abril, Y. Villacampa, A.M. Solak, F. Baeza-Brotoms, Prediction and sensitivity analysis of compressive strength in segregated lightweight concrete based on artificial neural network using ultrasonic pulse velocity, *Construction and Building Materials*, 189 (2018) 1173-1183.
- International Journal of Structural Engineering, 10(3) (2020) 232-253.
- [14] K. Takin, R. Doroudi, S. Doroudi, Investigation the effect of Different Types of Fuzzy Controllers in Relieving the Sensitivity to Seismic Excitation of an 11-Story Structure with an Active Mass Damper, *Amirkabir Journal of Civil Engineering*, 54(8) (2022) 589-592.
- [15] K. Takin, R. Doroudi, S. Doroudi, Vibration control of structure by optimising the placement of semi-active dampers and fuzzy logic controllers, *Australian Journal of Structural Engineering*, 22(3) (2021) 222-235.
- [16] J. Thomas, N.N. Thaickavil, P. Wilson, Strength and durability of concrete containing recycled concrete aggregates, *Journal of Building Engineering*, 19 (2018) 349-365.
- [17] J.-C. Souche, P. Devillers, M. Salgues, E.G. Diaz, Influence of recycled coarse aggregates on permeability of fresh concrete, *Cement and Concrete Composites*, 83

چگونه به این مقاله ارجاع دهیم

M. Golshani, K. Takin, S. Sabouri, *Investigation of the behavior of recycled concrete and self-compacting concrete in road pavement construction using ultrasonic test and compare it with other methods*, *Amirkabir J. Civil Eng.*, 55(10) (2024) 2025-2042.

DOI: [10.22060/ceej.2023.21361.7695](https://doi.org/10.22060/ceej.2023.21361.7695)



